

Clase 5 Potencial de acción

Contenido

1. Definir potencial de acción
2. Desarrollar un modelo
3. Simular el comportamiento

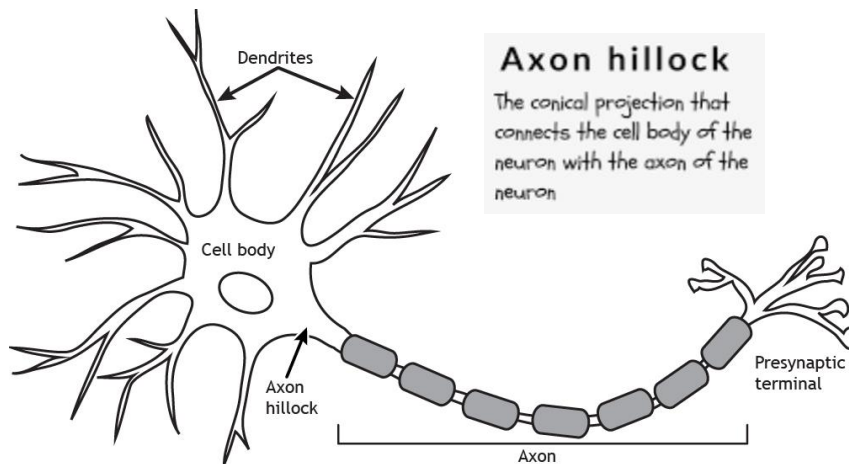
- Temas repasar:
 - Elementos de acople capacitivo
- Temas Futuros

CCB-CCS-Mayo-2023

1

1

Neurona¹

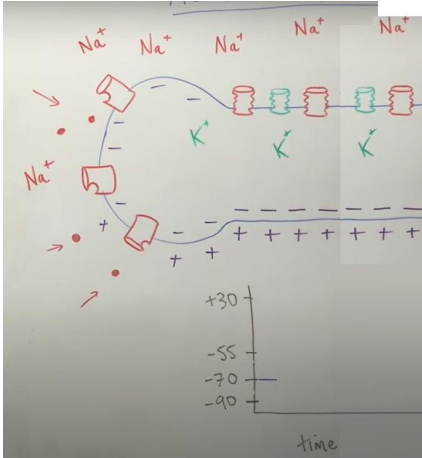


CCB-CCS-Mayo-2023

2

2

Potencial²



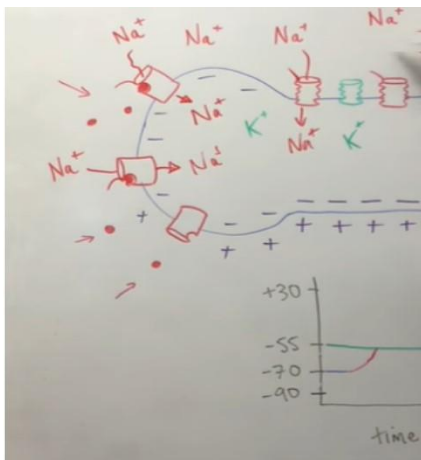
<https://www.youtube.com/watch?v=BB0qVcp7FOQ>

CCB-CCS-Mayo-2023

3

3

Potencial²



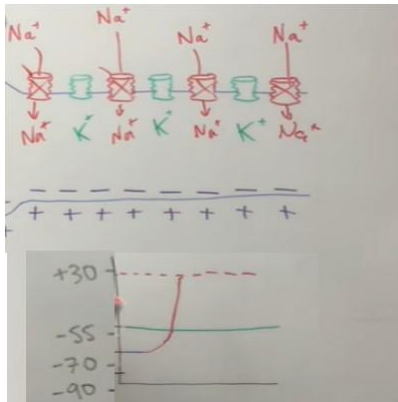
- Por difusión, iones de Na⁺ fluyen hacia adentro. (En la región llamada Axon Hillock)
- Como son positivos el voltaje interno va aumentando respecto al externo (se hace menos negativo).
- Al alcanzar -55mV las compuertas de sodio activadas por voltaje, ubicadas a lo largo del axón se van abriendo. Mas iones Na⁺ entran. El voltaje aumenta

CCB-CCS-Mayo-2023

4

4

Depolarización: ingreso de Na^+



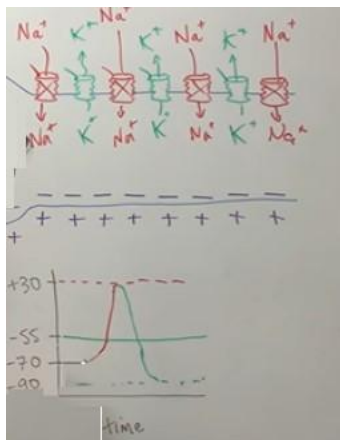
- La propagación sigue a lo largo del axón, mas compuertas se abren y el voltaje sigue aumentando, hasta + 30 mV.
- En este voltaje las compuertas de sodio empiezan a cerrarse.
- El potencial interior subió desde -70 mV hasta +30 mV: fase de Depolarización.
- Hay mas iones Na^+ en el interior que en exterior

CCB-CCS-Mayo-2023

5

5

Repolarización: salida de K^+



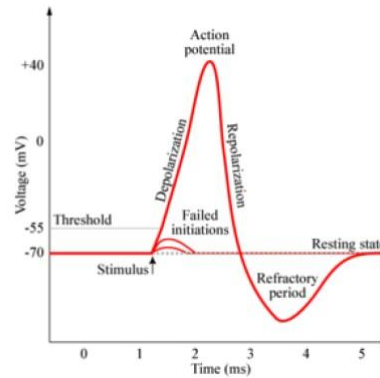
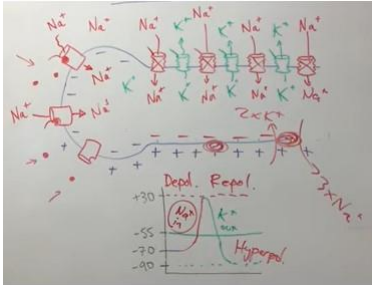
- En este voltaje de + 30 mV las compuertas de K^+ empiezan a abrirse.
- A medida que van saliendo iones de K^+ el voltaje del interior va cayendo.
- El voltaje del interior baja hasta -90 mV

CCB-CCS-Mayo-2023

6

6

Potencial de acción²



CCB-CCS-Mayo-2023

7

7

Dinámica de la conductancia del potasio K³

Potassium conductivity $g_K(t)$ is simulated as proportional to the forth power of a gating variable, $n(t)$:

$$g_K = n^4 \bar{g}_K$$

where \bar{g}_K is the maximum conductance of potassium in the cell, occurring when $n = 1$. The dynamics of potass conductivity are simulated to respond to changes in membrane potential via a first-order process

$$\frac{dn}{dt} = \alpha_n(1 - n) - \beta_n n$$

where α_n and β_n are the rates of opening and closing of the channel. The dependency of the opening and clos on voltage are modeled by functions that match the observed data:

$$\alpha_n = 0.01 \frac{10 - v}{\exp\left(\frac{10 - v}{10}\right) - 1}$$

$$\beta_n = 0.125 \exp\left(\frac{v}{80}\right)$$

where v is the membrane voltage (inside cell minus outside cell) and measured relative to the resting potential of around -60 mV. The units in the above expression are in mV.

CCB-CCS-Mayo-2023

8

8

Dinámica de la conductancia del sodio Na^3

Step 2: Simulating the dynamics of the sodium conductance

Sodium conductivity $g_{\text{Na}}(t)$ is simulated as governed by two gating variables, $m(t)$ and $h(t)$:

$$g_{\text{Na}} = m^3 h \bar{g}_{\text{Na}}$$

where \bar{g}_{Na} is the maximum conductance of sodium in the cell, occurring when $m = 1$ and $h = 1$. As for potassium conductivity, the dynamics of sodium conductivity are simulated to respond to changes in membrane potential via first-order processes

$$\frac{dm}{dt} = \alpha_m(1 - m) - \beta_m m$$

$$\frac{dh}{dt} = \alpha_h(1 - h) - \beta_h h$$

The difference is that since there are two gating variables there are two opening rates α_m and α_h and two closing rates β_m and β_h . The equations that capture the voltage dependency of these variables are

$$\alpha_m = 0.1 \frac{25 - v}{\exp\left(\frac{25 - v}{10}\right) - 1}$$

$$\beta_m = 4 \exp\left(\frac{-v}{18}\right)$$

$$\alpha_h = 0.07 \exp\left(\frac{-v}{20}\right)$$

$$\beta_h = \frac{1}{\exp\left(\frac{30 - v}{10}\right) + 1}$$

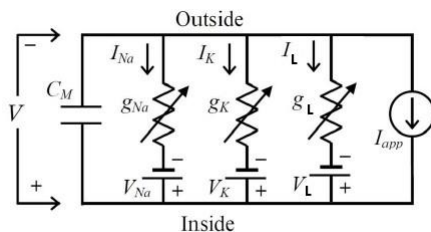
Again, v is the membrane voltage (inside cell minus outside cell) and measured relative to the resting potential of around -60 mV. The units in the above expression are in mV.

CCB-CCS-Mayo-2023

9

9

Circuito equivalente³



- Capacitancia C corresponde a las capas de las membranas de las células.
- I_K , I_{Na} e I_L son las corrientes iónicas asociadas a K, Na y a fugas indefinidas respectivamente.
- Las conductancias de los canales Na y K son dependientes de voltaje

CCB-CCS-Mayo-2023

10

10

Circuito equivalente³

- Ley de Kirchoff de corriente:

$$C \frac{dV}{dt} = I_{ion} + I_{app}$$

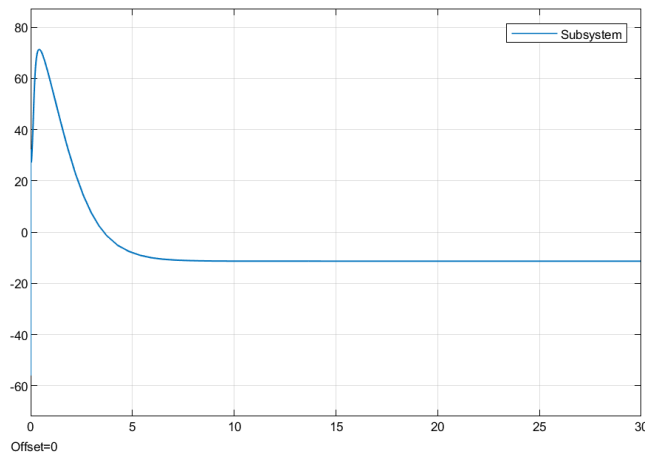
$$C \frac{dV}{dt} = -(v - v_{Na})g_{Na} - (v - v_K)g_K - (v - L)g_L + I_{app}$$

- La capacitancia de la membrana tiene un valor de $C_m = 1 \frac{\mu F}{cm^2}$
- $v_{Na} = 115mV$; $v_K = -12mV$; $v_L = 10.6mV$
- <https://virtualrat.org/hodgkin-huxley-model-action-potential-squid-giant-axon>

CCB-CCS-Mayo-2023

11

11



CCB-CCS-Mayo-2023

12

12

Referencias

1. <https://www.coursera.org/lecture/dynamical-modeling/lecture-20-mathematical-models-of-action-potentials-part-1-YbyNp>.
2. Action Potential with Dr Mike. Disponible en: <https://www.youtube.com/watch?v=BB0qVcp7FOQ>
3. Hodgkin-Huxley model of the action potential in the squid giant axon. Disponible en: <https://virtualrat.org/hodgkin-huxley-model-action-potential-squid-giant-axon>
4. The Hodgkin-Huxley model. Department of Mathematical Sciences. B12412: Computational Neuroscience and Neuroinformatics. Disponible en: <https://www.maths.nottingham.ac.uk/plp/pmzsc/cnn/CNN3B.pdf>